

CDFでのBの物理



筑波大学素粒子実験研究室
三宅秀樹



「フレーバー物理の新展開」研究会@大洗
2010.2.23

Introduction

□ Tevatron as “Hadronic” B-factory

- SM、BSMに迫る
ユニークな実験場
 - BSM直接探索や
 e^+e^- B-factoryと相補的

□ あらゆるbハドロンが生成 (B^0 , B^+ , B_s , B_c , Λ_b , Σ_b , etc...)

- 新粒子発見から精密測定まで、
多種多様なプログラム
- データ量増大中…まさに今が旬



- e^+e^- B-factoryの
約1000倍の
bハドロン生成断面積
 - 但しQCD背景事象は
その1000倍
 - ルミノシティに応じた
トリガーの改良がカギ

Topics

□ 本年度の成果より、かいつまんで…

□ B中間子希少崩壊 (崩壊分岐比、 A_{FB})

□ $B \rightarrow K^{(*)} \mu \mu$, $B_s \rightarrow \phi \mu \mu$, $B_{(s)} \rightarrow \mu \mu$

□ CP非対称度測定 (β_s)

□ $B_s \rightarrow J/\psi \phi$

□ bハドロン解析 (質量、寿命、偏極度)

□ Ω_b , $Y(1s)$

don't cover... $B_s \rightarrow \phi \phi$, Λ_b and so on

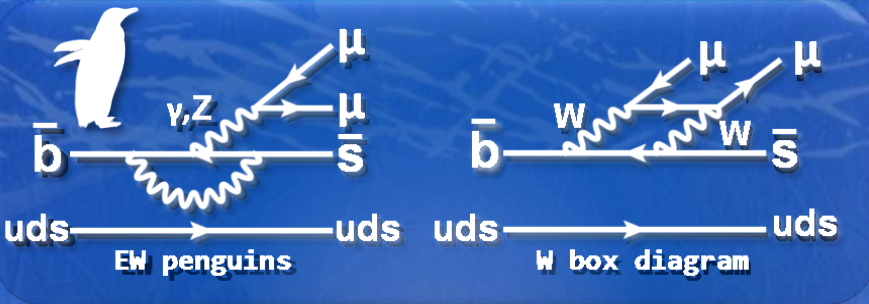
<http://www-cdf.fnal.gov/physics/new/bottom/bottom.html>



希少崩壊



$B \rightarrow K^{(*)} \mu \mu, B_s \rightarrow \phi \mu \mu$



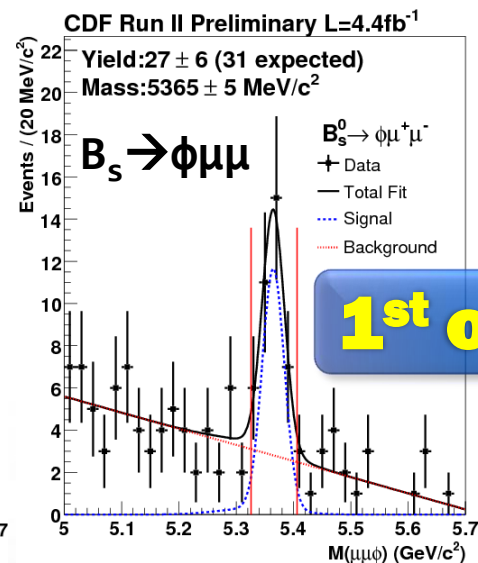
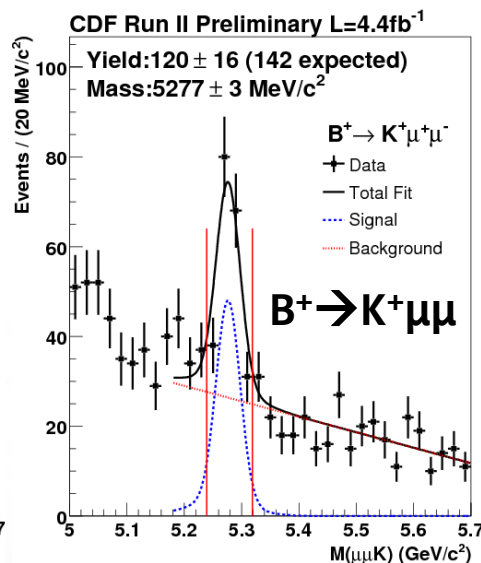
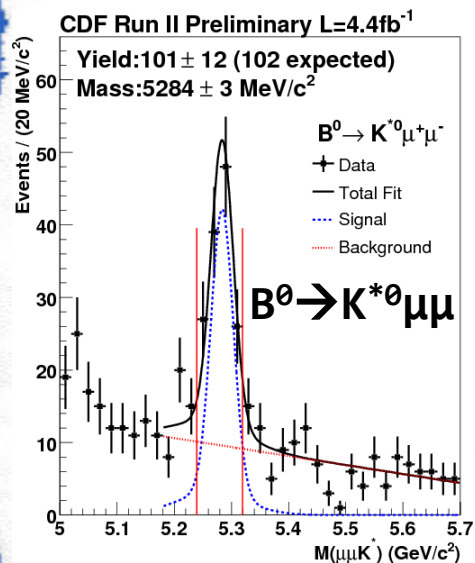
$BR(B^0 \rightarrow K^{*0} \mu \mu)$
 $= [1.06 \pm 0.14(\text{stat}) \pm 0.09(\text{syst})] \times 10^{-6}$
 $BR(B^+ \rightarrow K^+ \mu \mu)$
 $= [0.38 \pm 0.05(\text{stat}) \pm 0.03(\text{syst})] \times 10^{-6}$
 $BR(B_s \rightarrow \phi \mu \mu)$
 $= [1.44 \pm 0.33(\text{stat}) \pm 0.46(\text{syst})] \times 10^{-6}$

$b \rightarrow s$ FCNC

New Physicsに敏感

BR, A_{FB} ...

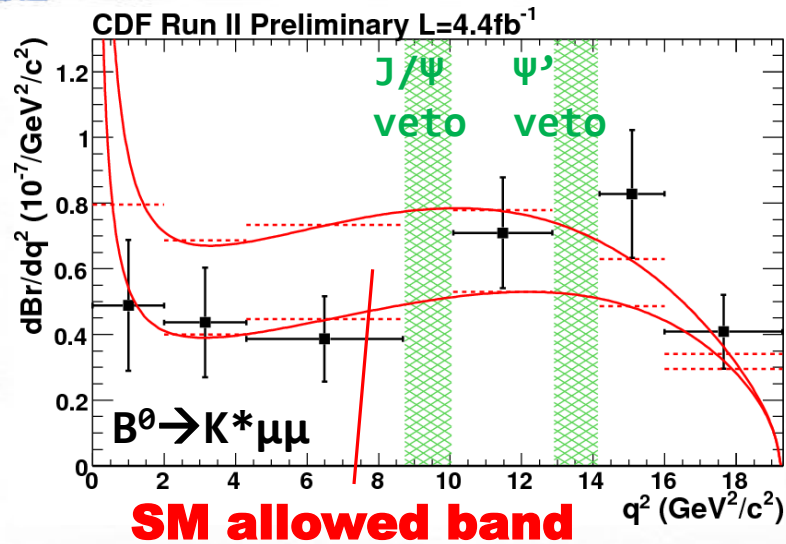
これまでに見つかった中で最も希少な B_s 中間子崩壊の発見



1st observation!

統計有意度 $\sim 6\sigma$

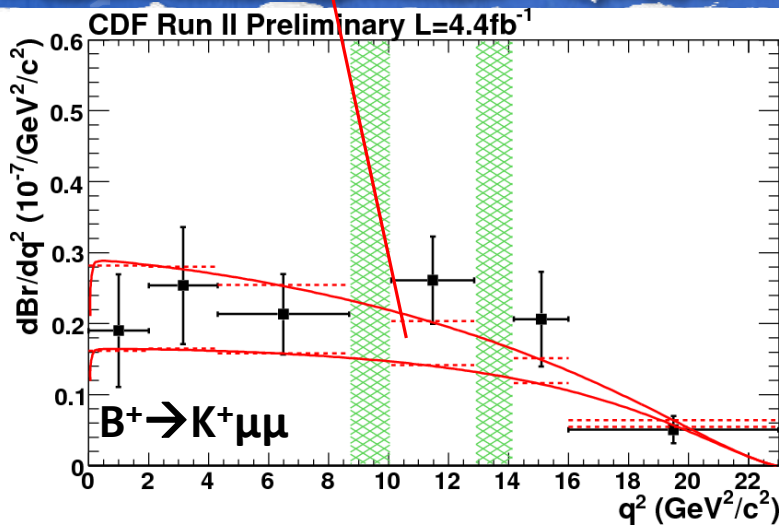
$B \rightarrow K^{(*)} \mu \mu$: differential BR



運動量移行の二乗(q^2)の関数で崩壊率を見る
但し $q^2 = M_{\mu\mu}^2$

- より細密な理論構造の検証

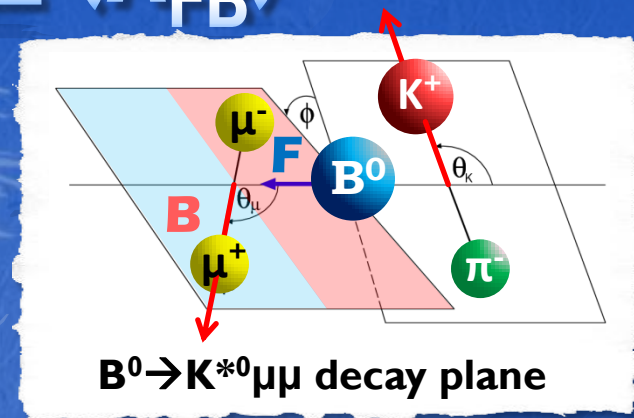
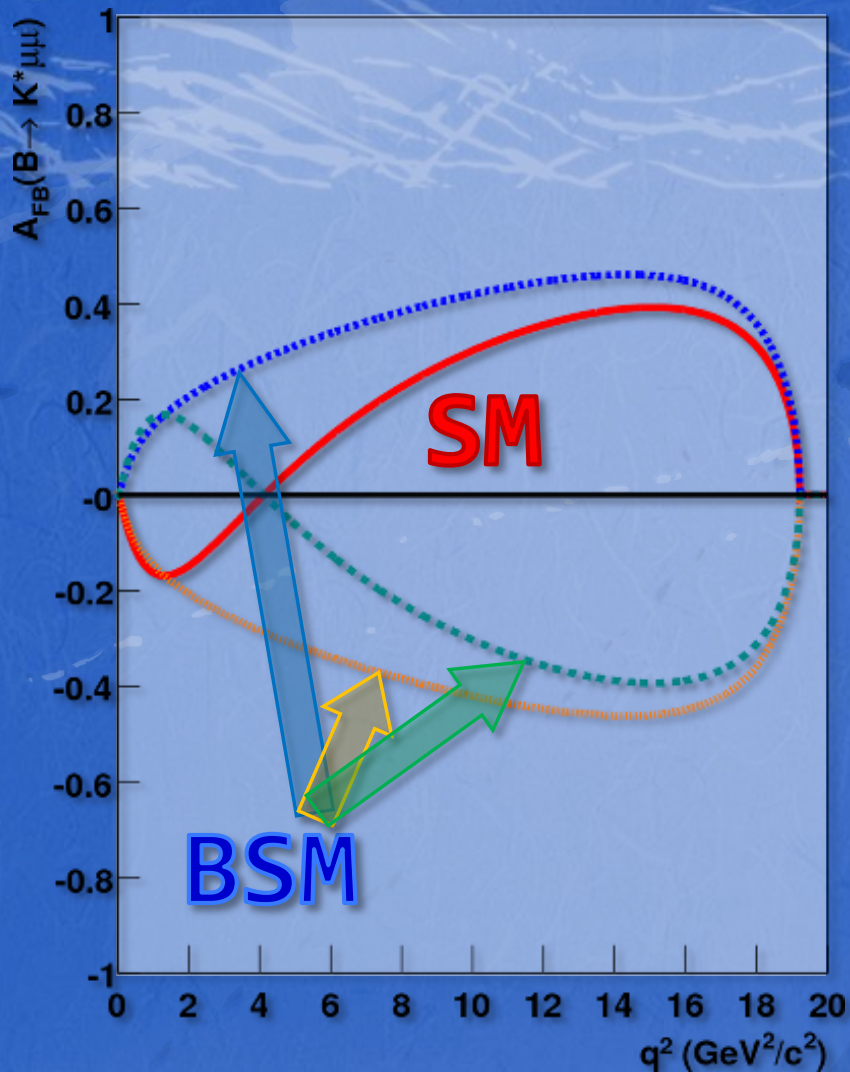
6個の q^2 binでそれぞれ崩壊率を測定
(binの定義はBelleと同じ)



- SMと矛盾しない
- B-factory実験とも矛盾せず、
同等の感度を示す

- BaBar, PRL102:091803 (2009)
- Belle, PRL103:171801 (2009)

ミューオン前後方非対称性 (A_{FB})



Forward-Backward Asymmetry :

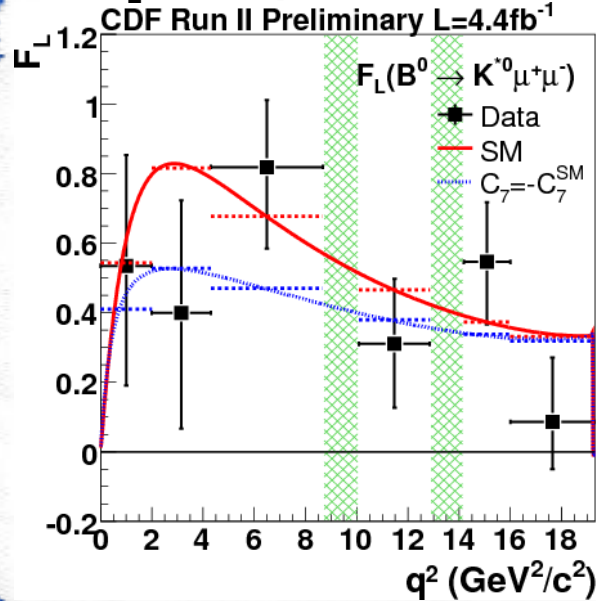
$$A_{FB}(q^2) \equiv \frac{\Gamma(q^2, \cos\theta_\mu > 0) - \Gamma(q^2, \cos\theta_\mu < 0)}{\Gamma(q^2, \cos\theta_\mu > 0) + \Gamma(q^2, \cos\theta_\mu < 0)}$$

- 比を取る事で、
理論の不定性をキャンセル
- BSMの影響を敏感に反映
→ BSM探索の有望なプローブ

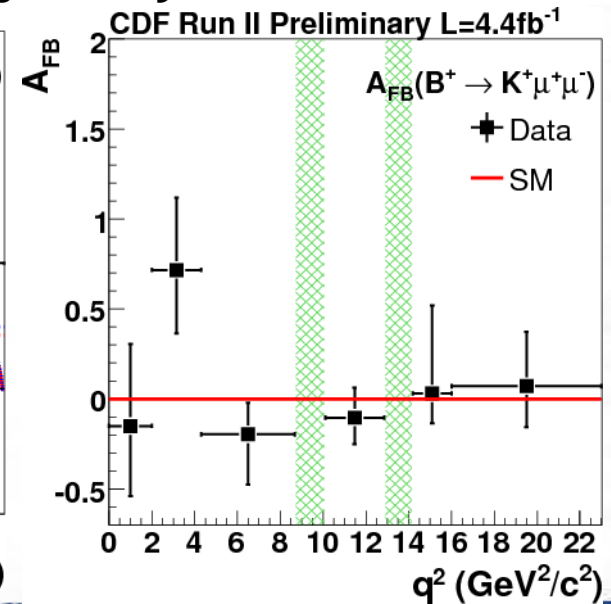
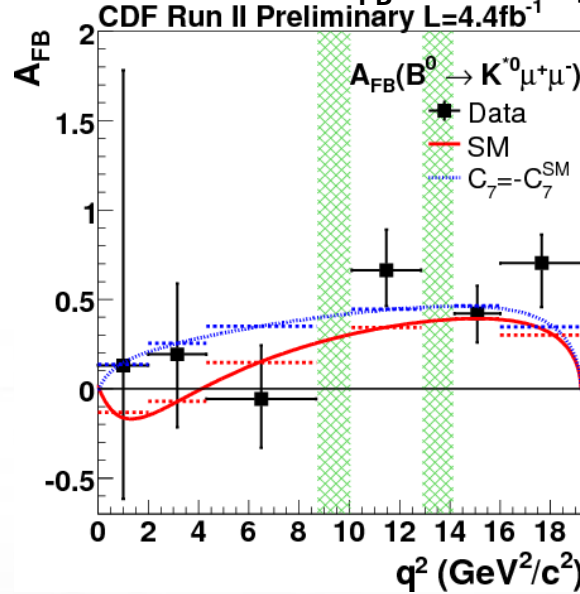
$K\mu\mu$ の場合, $A_{FB}(K\mu\mu) \sim 0$

$A_{FB}(B \rightarrow K^{(*)} \mu \mu)$

F_L : K^* polarization



A_{FB} : FB asymmetry



$$\frac{3}{2} F_L \cos^2 \theta_K + \frac{3}{4} (1 - F_L) (1 - \cos^2 \theta_K)$$

$$\frac{3}{4} F_L (1 - \cos^2 \theta_\mu) + \frac{3}{8} (1 - F_L) (1 + \cos^2 \theta_\mu) + A_{FB} \cos \theta_\mu$$

$F_L=1$ for $K\mu\mu$

- B-factory実験と矛盾せず、同等の感度を示す:

BaBar 384M BB, PRD79, 031102 (R) (2009) and
Belle 657M BB, PRL103, 171801 (2009)

統計量の向上がカギ
→解析の改良を予定

- SM及びBSMの一例とも矛盾しない

- 三実験とも同様の傾向がみられており、非常に興味深い

$B_{s,d} \rightarrow \mu \mu$

□ SMにおいて極めて強く抑制

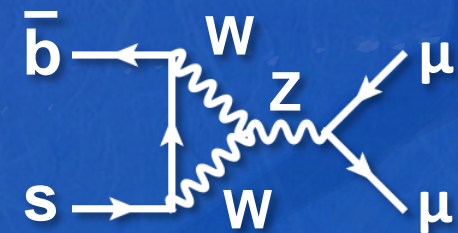
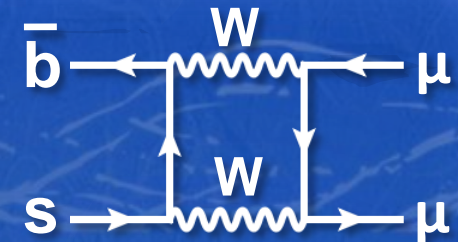
$$\mathcal{B}(B_s^0 \rightarrow \mu^+ \mu^-) = (3.6 \pm 0.3) \times 10^{-9}$$

$$\mathcal{B}(B_d^0 \rightarrow \mu^+ \mu^-) = (1.1 \pm 0.1) \times 10^{-10}$$

A. J. Buras, arXiv:0904.4917v1

□ 様々なNPモデルがBRの亢進を予言

- 特にMSSM large $\tan \beta \sim \text{BR} \propto (\tan \beta)^6$
- 逆にNPモデルのパラメータ空間に対する強力な制限を与える



✓ Current world's best upper limit:

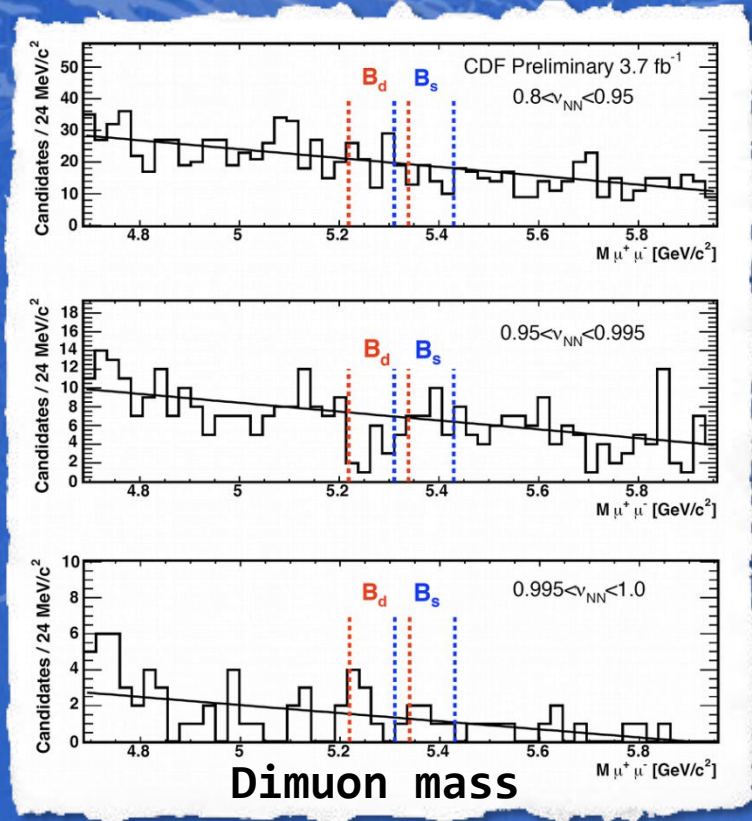
✓ $\text{BR}(B_s \rightarrow \mu\mu) < 4.7(5.8) \times 10^{-8}$

✓ $\text{BR}(B_d \rightarrow \mu\mu) < 1.5(1.8) \times 10^{-8}$ 90(95)% C.L.

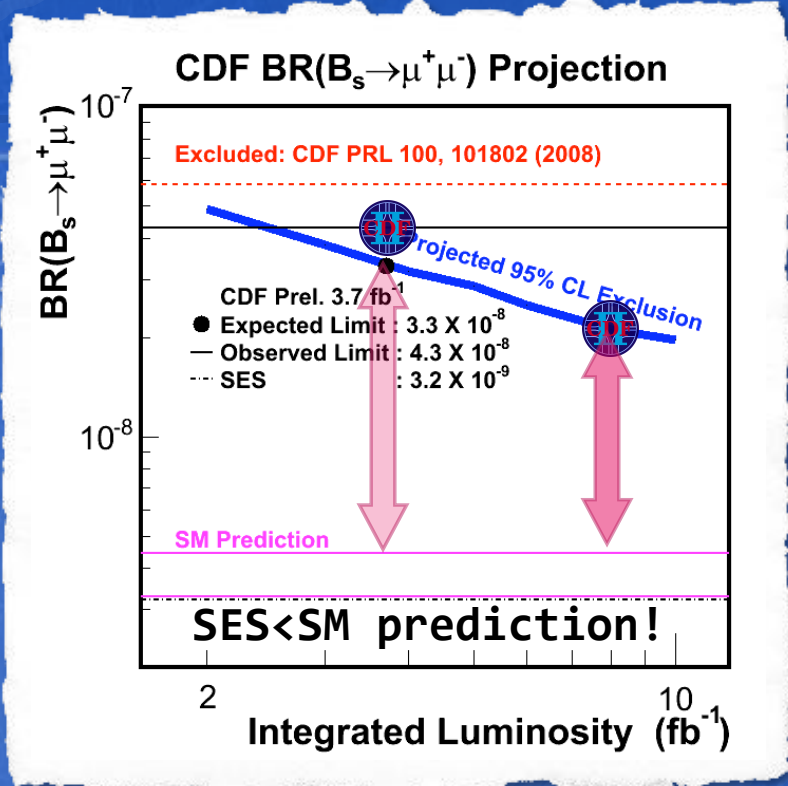


PRL 100,101802 (2008)

$B_{s,d} \rightarrow \mu\mu$



- ✓ Preliminary @3.7fb⁻¹ (CDF public note 9892)
 - ✓ BR(B_s → μμ) < 3.6(4.3) × 10⁻⁸ 90%(95%)C.L.
 - ✓ BR(B_d → μμ) < 6.0(7.6) × 10⁻⁹ 90%(95%)C.L.



- 既に実験感度はSM予言値に到達
(limitは背景事象で制限)
- NP事象が見え出す可能性
- 2010年度にSMの6倍、
D0とのcombinationで4~5倍程度の
分岐比測定を期待

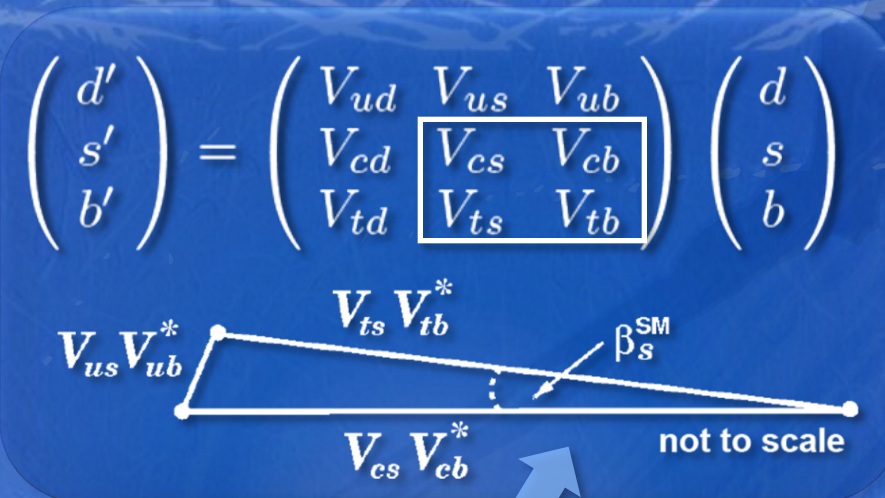
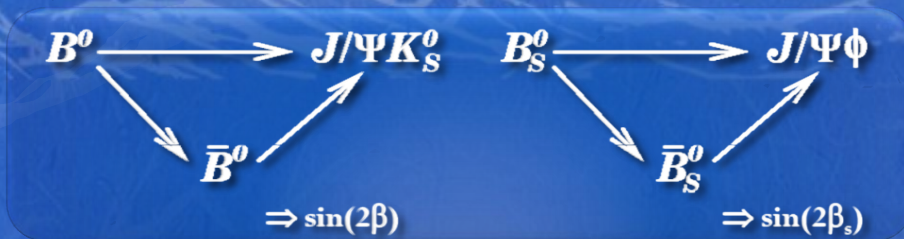


CPの破れ



B_s 中間子系におけるCP非対称度測定

BB̄混合に誘起される、時間に依存したCPの破れ ~ same as B⁰ → J/ψ K_s



B_s 中間子質量固有状態: B_s^L, B_s^H
 質量差: $\Delta m_s = m_H - m_L \sim 2|M_{12}|$
 崩壊幅差: $\Delta \Gamma_s = \Gamma_L - \Gamma_H \sim 2|\Gamma_{12}| \cos \phi_s$

CP非保存位相:

$$\phi_s = \arg\left(-\frac{M_{12}}{\Gamma_{12}}\right)$$

$$\beta_s$$

$$\phi_s^{\text{SM}} \sim 0.004$$

$$\beta_s^{\text{SM}} = \arg(-V_{ts}V_{tb}^*/V_{cs}V_{cb}^*) \sim 0.02$$

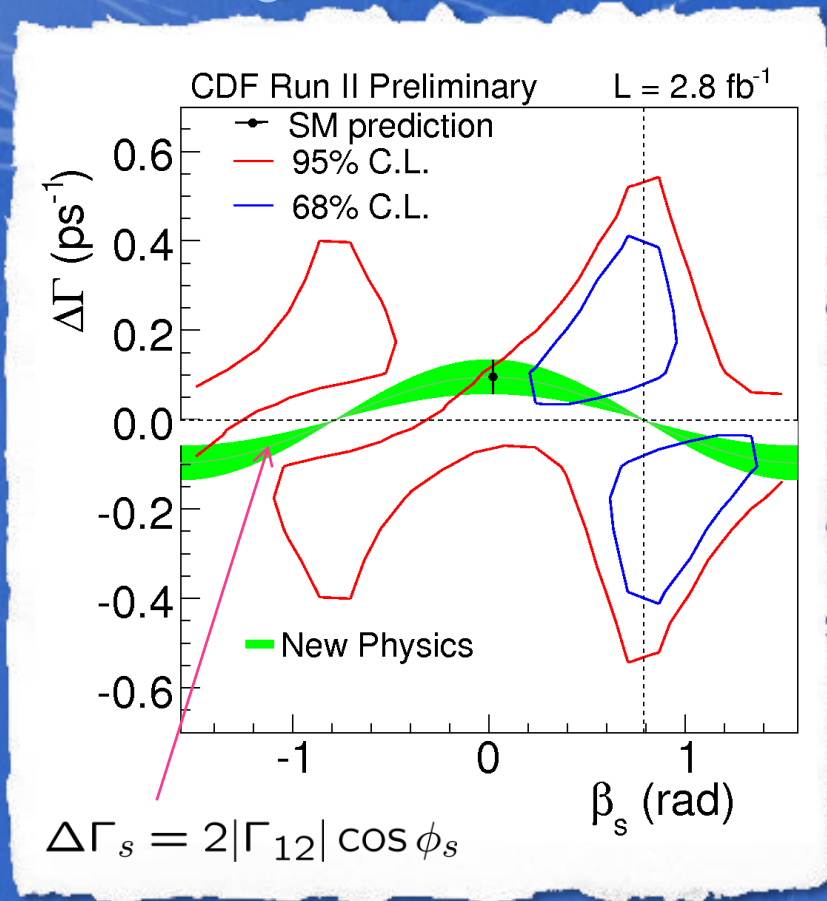
A. Lenz and U. Nierste, JHEP 06, 072(2007)

- ϕ_s^{NP} は ϕ_s と β_s の両方に寄与する
- $-2\beta_s = -2\beta_s^{\text{SM}} + \phi_s^{\text{NP}}$ If ϕ_s^{NP} dominates : $-2\beta_s \sim \phi_s^{\text{NP}}$

大きなCP位相の測定 → NPの発見及びCP位相の決定



CDF β_s result @ 2.8fb^{-1}



CDF note 9458
(2.8fb^{-1})

PRL100,161802 (2008)
(1.35fb^{-1})

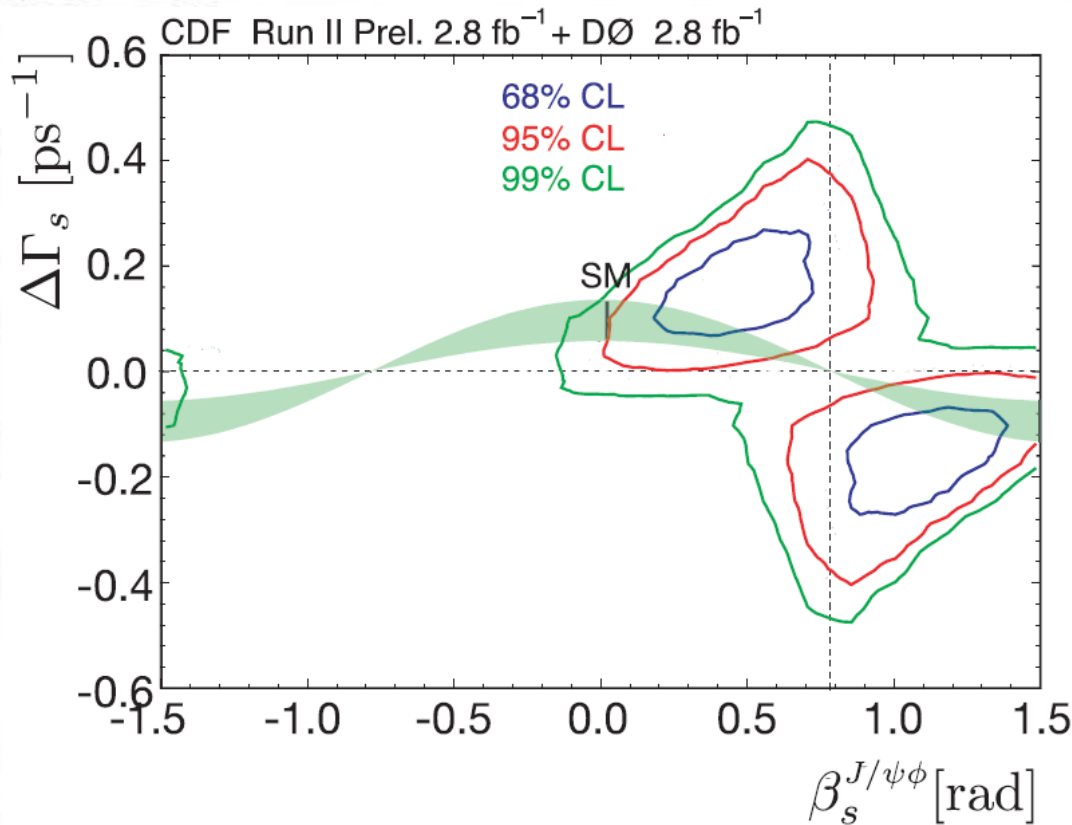
SM p-value=7%

標準理論からのずれ: 1.8σ



Tevatron combination

**DØ note 5928,
CDF note 9787**



**Combined
likelihood finds 2.1 σ
deviation from SM**

**データ量を増やした解析が両実験で進行中...
乞うご期待**



おハドロン

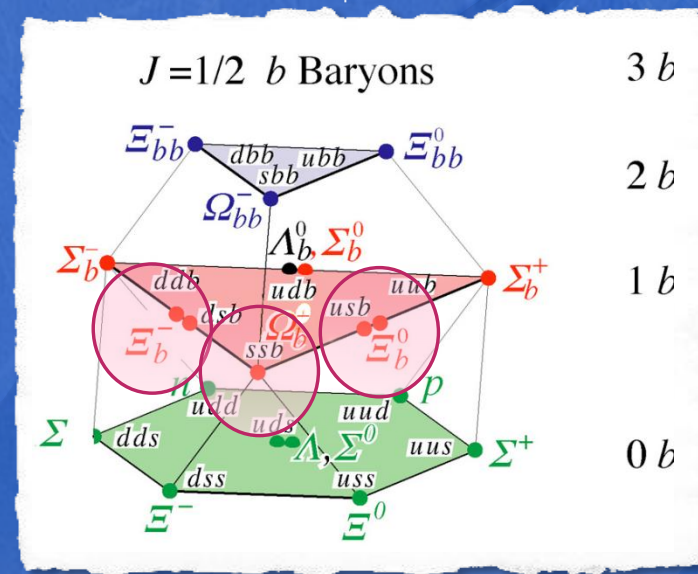
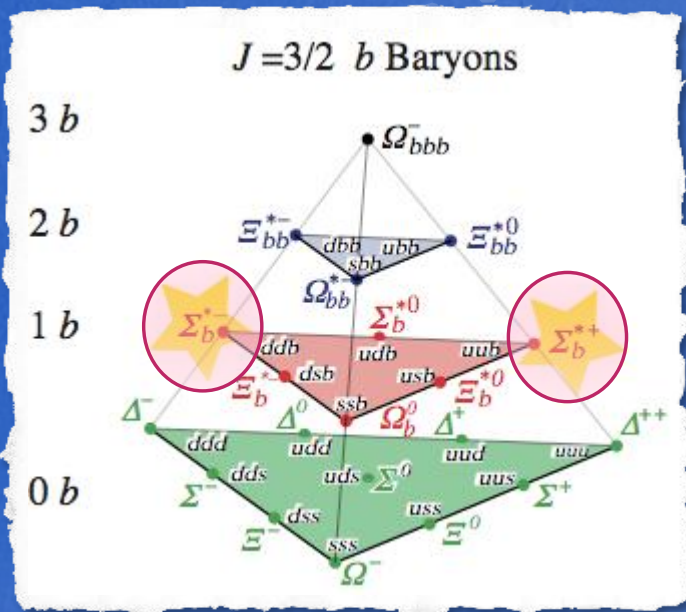


Bottom baryons

Bottom spectroscopyはここ数年で急速に発展

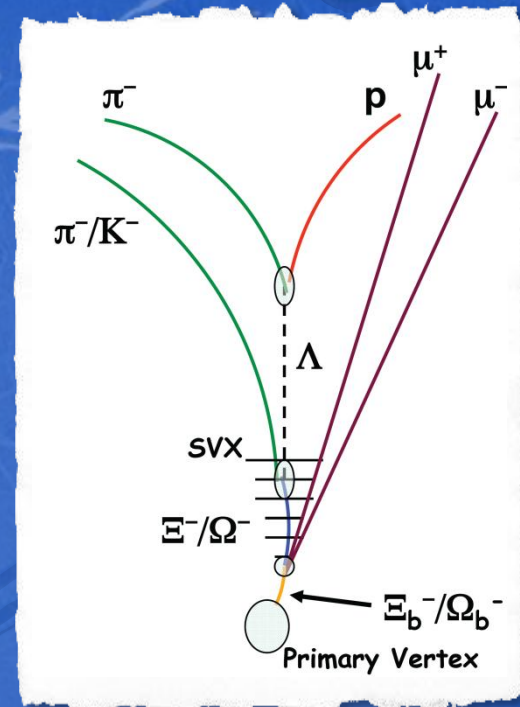
- 2006 $\Sigma_b^{(*)+}$ and $\Sigma_b^{(*)-}$
- 2007 Ξ_b^-
- 2008 Ω_b^-

発見から各種性質(質量、寿命…)の測定へ



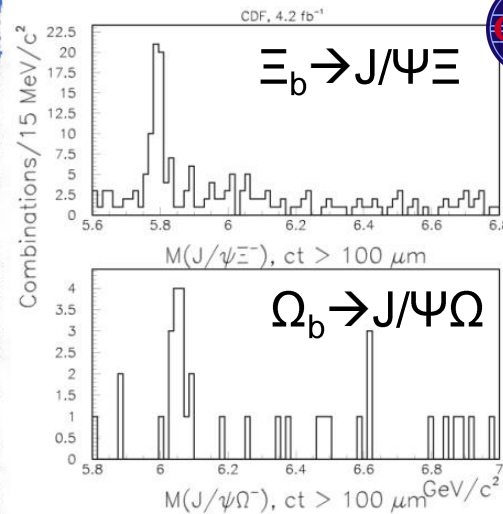
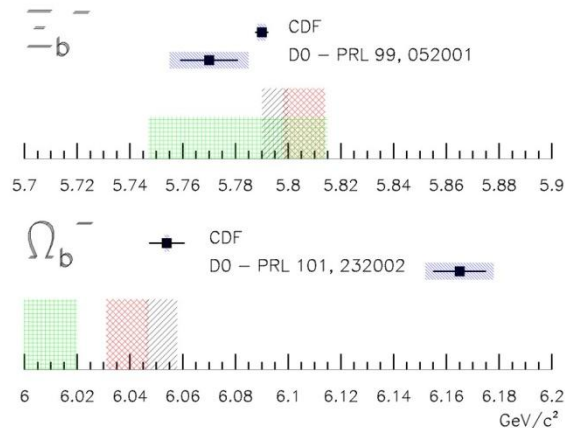
$\Omega_b \rightarrow J/\psi \Omega, \Xi_b \rightarrow J/\psi \Xi$

- D0は18 Ω_b (15 Ξ_b) 事象を観測@1.3fb⁻¹
 - 質量: $6165 \pm 10 \pm 13$ ($5774 \pm 11 \pm 15$) MeV/c²
 PRL101, 232002 (PRL99, 052001)
- CDFは16 Ω_b (66 Ξ_b) 事象を観測@4.2fb⁻¹
 - 質量: $6054.4 \pm 6.8 \pm 0.9$ ($5790.9 \pm 2.6 \pm 0.8$) MeV/c²
 - 寿命: $1.13^{+0.53}_{-0.40} \pm 0.02$ ($1.56^{+0.27}_{-0.25} \pm 0.02$) ps
 arXiv:0905.3123



Measured and Predicted Masses for the Ξ_b^- and Ω_b^-

- Jenkins (PRD 77,034012(2008))
- Lewis et al, (PRD 79,014502(2009))
- Karliner et al, (Ann. Phys. 324,2(2008))
- Systematic Uncertainties



- Ξ_b mass: 一致
- Ω_b mass: 不一致

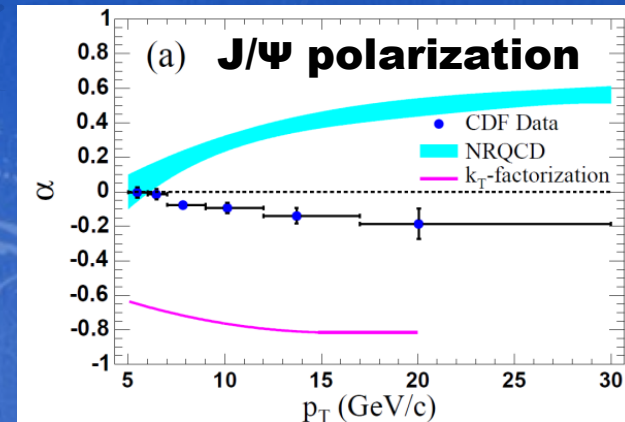
Puzzle!

Υ 偏極度測定

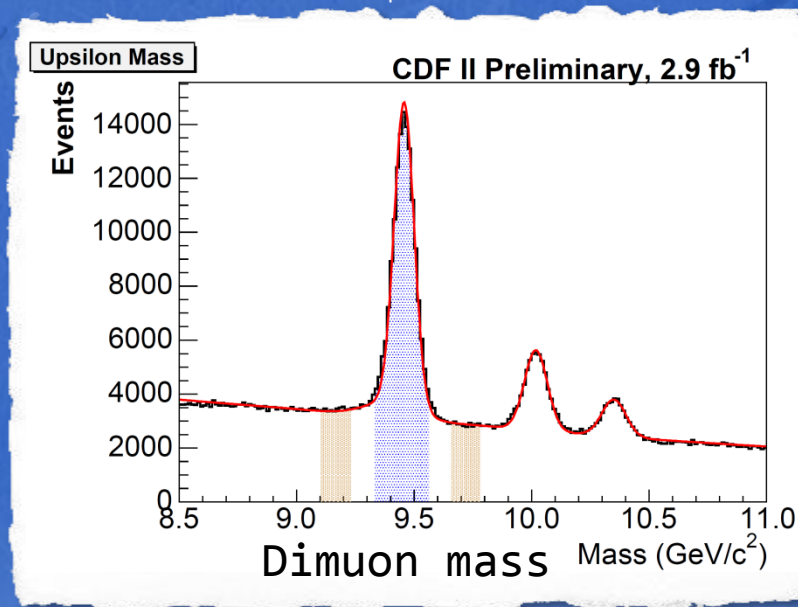
□ 一次生成vector中間子偏極度測定

□ NRQCDの検証 (color-octet model)

- Ψ (nS) において、実験と不一致
- 重い**bb**系であるΥ (nS) でなら一致するかも?



PRL99, 132001 (2007)



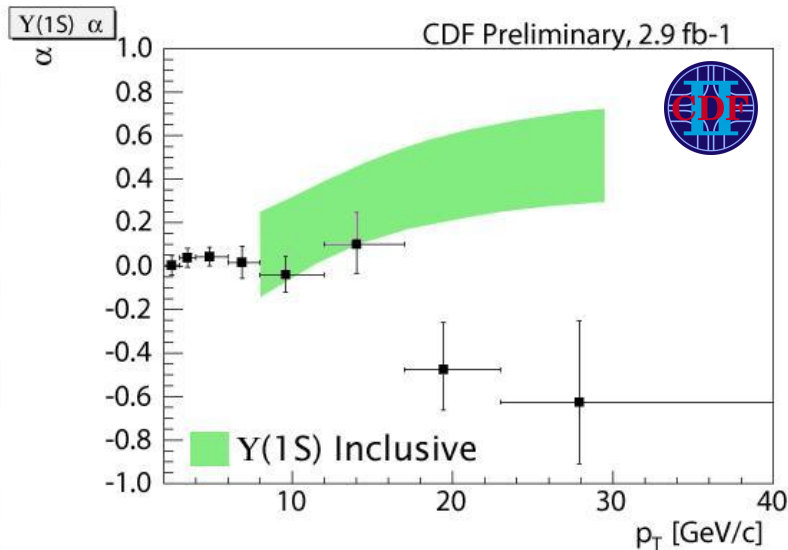
$$\frac{d\Gamma}{d\cos\theta^*} \propto 1 + \alpha \cos^2\theta^*.$$

where $\cos\theta^*$: μ^+ angle

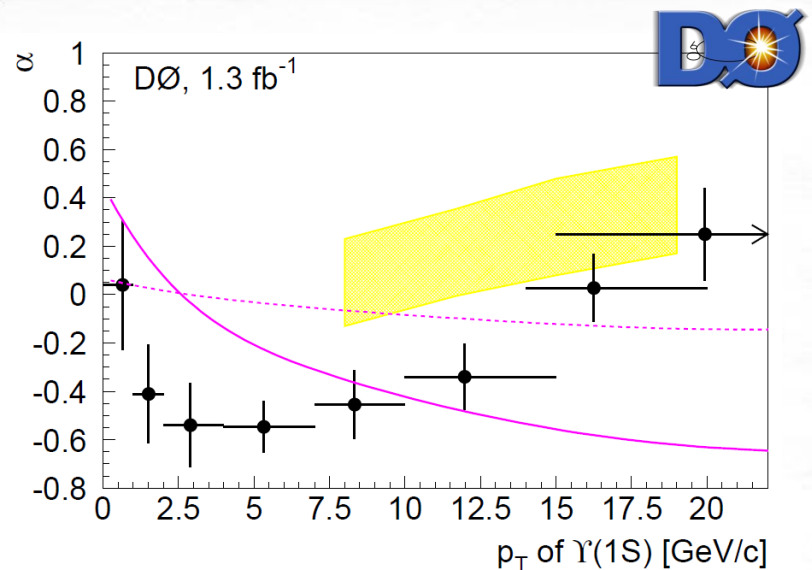
$\alpha=+1$: transverse

$\alpha=-1$: longitudinal

Υ 偏極度測定結果



CDF Public Note 9966



PRL101, 182004 (2008)

- DØはΥ(1S)とΥ(2S)を用いて偏極度を測定@1.3fb⁻¹
- 今回、CDFはΥ(1S)を2.9fb⁻¹のデータで測定
 - NRQCDとの不一致
 - CDFとDØも不一致(…BG偏極度の問題?)
- 両実験共Υ(nS)及びΨ(nS)を測定し、結果を比較する予定
- DØからのJ/Ψ測定結果が間もなく出るそうです

Summary

- 現在CDFでは様々なボトム解析プログラムが遂行中
 - 希少崩壊 (崩壊分岐比, A_{FB})
 - CP非対称度測定 (β_s)
 - bハドロン解析 (質量、寿命、偏極度)
- その特性を生かした、B-factory実験や直接探索実験と競合もしくは相補的な結果が多く出ている
- 2010年度において、統計の大幅な向上が期待される
 - 2011年度データ取得が認可されれば、さらなる精度向上

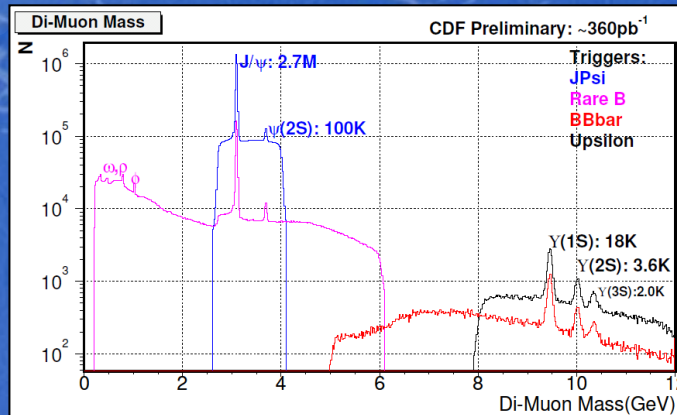


Backup

B triggers

Di-Muon

- Conventional trigger at hadron collider
- Wide mass range



1-Displaced track +
lepton (e, μ)

$120 \mu\text{m} < \text{I.P.}(\text{trk}) < 1\text{mm}$

$P_T(\text{lepton}) > 4 \text{ GeV}$

Semileptonic modes

Silicon Vertex Trigger: SVT

- Online selection of displaced tracks using SVX
- **UNIQUE** at hadron colliders

2-Displaced tracks

$P_T(\text{trk}) > 2 \text{ GeV}$

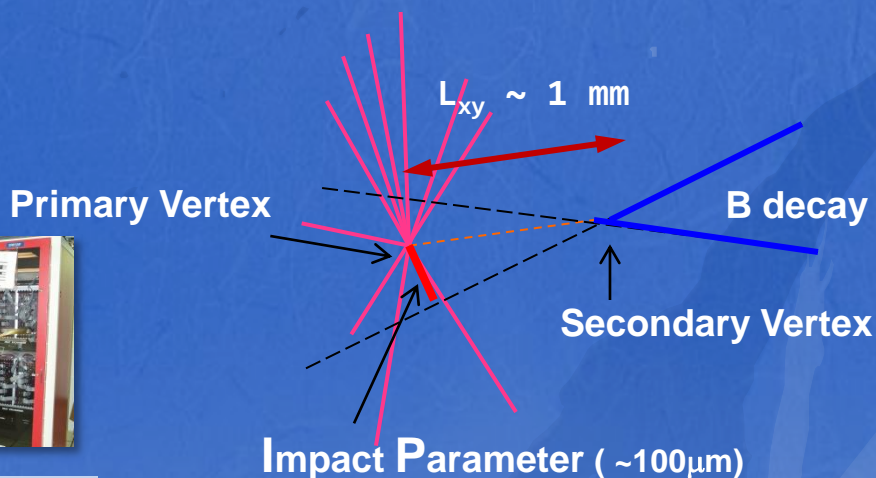
$120 \mu\text{m} < \text{I.P.}(\text{trk}) < 1\text{mm}$

$\Sigma p_T > 5.5 \text{ GeV}$

fully hadronic modes



Level-2 SVT trigger



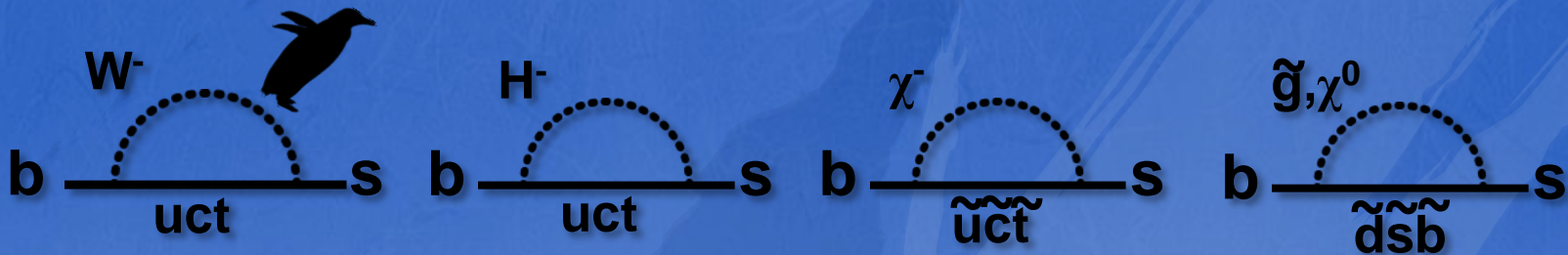
Flavor Changing Neutral Current

□ $b \rightarrow s$ FCNC

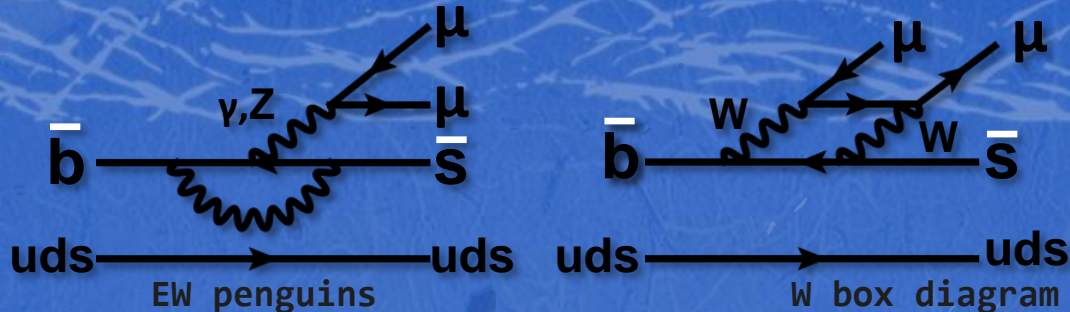
- Promising tool to search for new physics
- Tree diagram is forbidden in the SM
- May occur via higher order loop diagram
- NP could enhance the amplitude
 - Interference with SM amplitude



- **Various observables are available**
- **BR, K^* polarization, and A_{FB}**



$B \rightarrow K^{(*)} \mu \mu, B_s \rightarrow \phi \mu \mu$



Rare decay : $b \rightarrow s l l$

✓ $B^+ \rightarrow K^+ \mu^+ \mu^- : [0.52^{+0.08}_{-0.07}] \times 10^{-6}$ (HFAG)

✓ $B^0 \rightarrow K^{*0} \mu^+ \mu^- : [1.05^{+0.15}_{-0.13}] \times 10^{-6}$ (HFAG)

✓ $B_s \rightarrow \phi \mu^+ \mu^- : 1.61 \times 10^{-6}$ (C.Q.Geng and C.C.Liu, J.Phys.G29:1103-1118,2003)

✓ $BR(B_s \rightarrow \phi \mu \mu) / BR(B_s \rightarrow J/\psi \phi)$
 $< 2.3(2.6) \times 10^{-3}$ @90(95%) C.L. CDF 0.92fb^{-1}
 $< 4.4 \times 10^{-3}$ @95% C.L. DØ 0.45fb^{-1}



✓ CDF updated the analysis with 4.4fb^{-1}

✓ BR

✓ A_{FB}



$B \rightarrow K^{(*)} \mu \mu : BR$

✓ **Relative BR : normalized BR by control channel ($J/\Psi h$)**

$h=K, K^*$

Rare channel yield

$$\frac{\mathcal{B}(B \rightarrow h\mu^+\mu^-)}{\mathcal{B}(B \rightarrow J/\Psi h)} = \frac{N_{h\mu^+\mu^-}^{NN}}{N_{J/\Psi h}^{pre}} \frac{\epsilon_{J/\Psi h}^{pre}}{\epsilon_{h\mu^+\mu^-}^{pre}} \frac{1}{\epsilon_{h\mu^+\mu^-}^{NN}} \times \mathcal{B}(J/\Psi \rightarrow \mu^+\mu^-),$$

Control channel yield

Reconstruction efficiency

✓ **Absolute BR**

($\times 10^{-6}$)

	BaBar (384M BB)	Belle (657M BB)	CDF (4.4fb ⁻¹)
$K^+\mu\mu$	$0.41^{+0.16}_{-0.15}(\text{stat}) \pm 0.02(\text{syst})$	$0.53^{+0.08}_{-0.07}(\text{stat}) \pm 0.03(\text{syst})$	$0.38 \pm 0.05(\text{stat}) \pm 0.03(\text{syst})$
$K^{*0}\mu\mu$	$1.35^{+0.40}_{-0.37}(\text{stat}) \pm 0.10(\text{syst})$	$1.06^{+0.19}_{-0.14}(\text{stat}) \pm 0.07(\text{syst})$	$1.06 \pm 0.14(\text{stat}) \pm 0.09(\text{syst})$
$K\ell\ell$	$0.39 \pm 0.07(\text{stat}) \pm 0.02(\text{syst})$	$0.48^{+0.05}_{-0.04}(\text{stat}) \pm 0.03(\text{syst})$	Same as $K^+\mu\mu$
$K^{*0}\ell\ell$	$1.11^{+0.19}_{-0.18}(\text{stat}) \pm 0.07(\text{syst})$	$1.07^{+0.11}_{-0.10}(\text{stat}) \pm 0.09(\text{syst})$	Same as $K^{*0}\mu\mu$

PRL102:091803 (2009)

PRL103:171801 (2009)

The best measurement for single final state!!

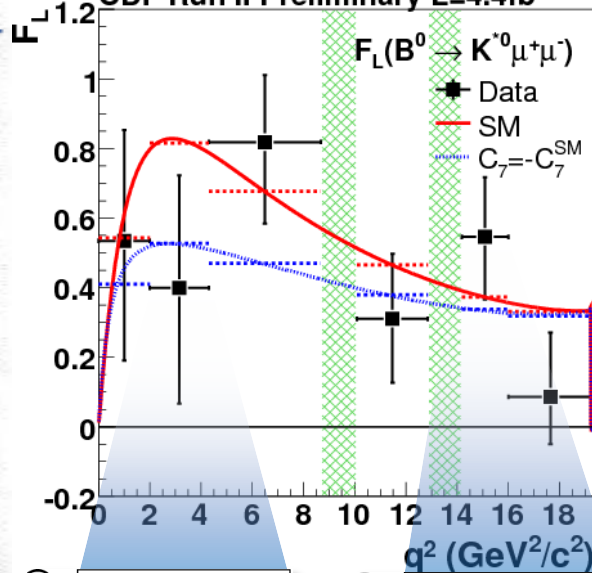
$\{K\pi, K_s\pi, K\pi^0\} * \{ee, \mu\mu\}$

$\{K, K_s\} * \{ee, \mu\mu\}$

$A_{FB}(B \rightarrow K^{(*)} \mu \mu)$

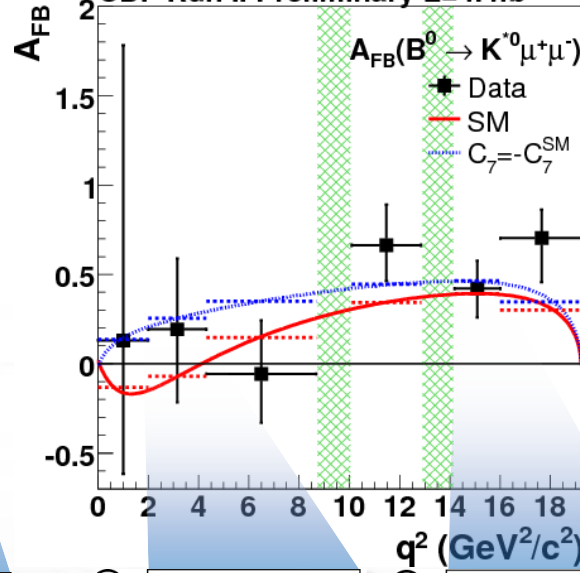
F_L : K^* polarization

CDF Run II Preliminary $L=4.4\text{fb}^{-1}$

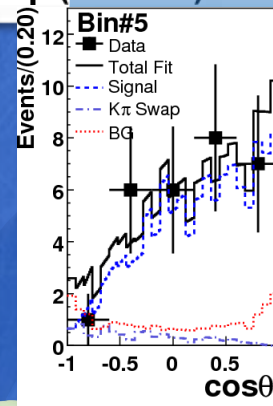
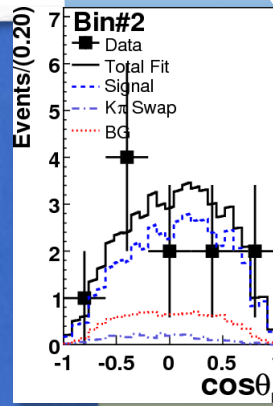
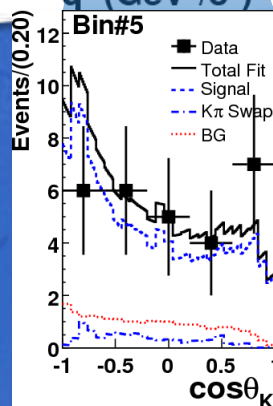
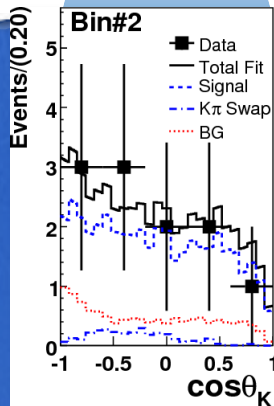
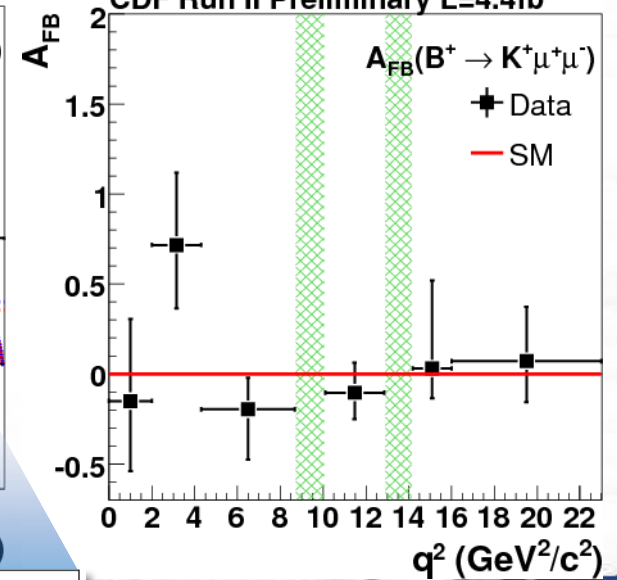


A_{FB} : FB asymmetry

CDF Run II Preliminary $L=4.4\text{fb}^{-1}$



CDF Run II Preliminary $L=4.4\text{fb}^{-1}$



$$\frac{3}{2} F_L \cos^2 \theta_K + \frac{3}{4} (1 - F_L) (1 - \cos^2 \theta_K)$$

$$\frac{3}{4} F_L (1 - \cos^2 \theta_\mu) + \frac{3}{8} (1 - F_L) (1 + \cos^2 \theta_\mu) + A_{FB} \cos \theta_\mu$$

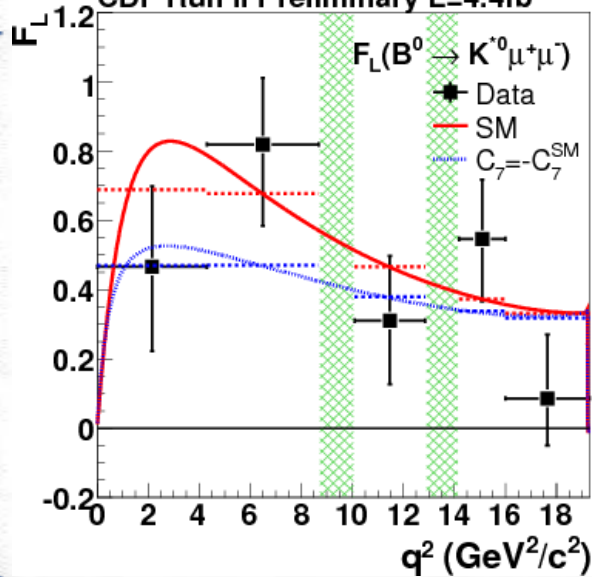
$F_L=1$ for $K\mu\mu$



$A_{FB}(B \rightarrow K^* \mu \mu) : 5 \text{ bin analysis}$

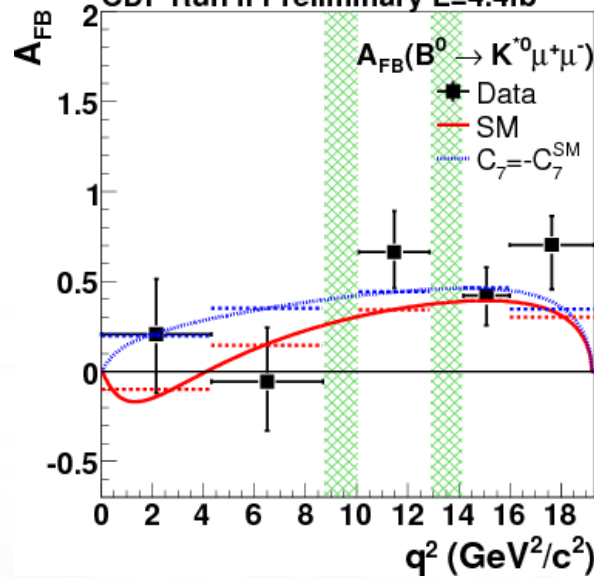
F_L : K^* polarization

CDF Run II Preliminary $L=4.4\text{fb}^{-1}$

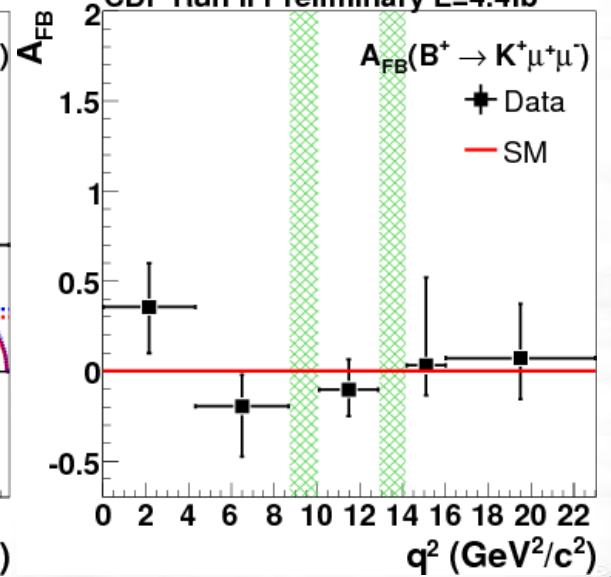


A_{FB} : FB asymmetry

CDF Run II Preliminary $L=4.4\text{fb}^{-1}$



CDF Run II Preliminary $L=4.4\text{fb}^{-1}$

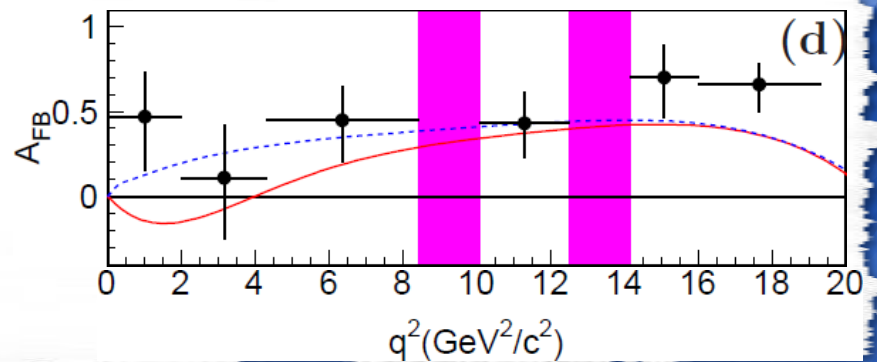
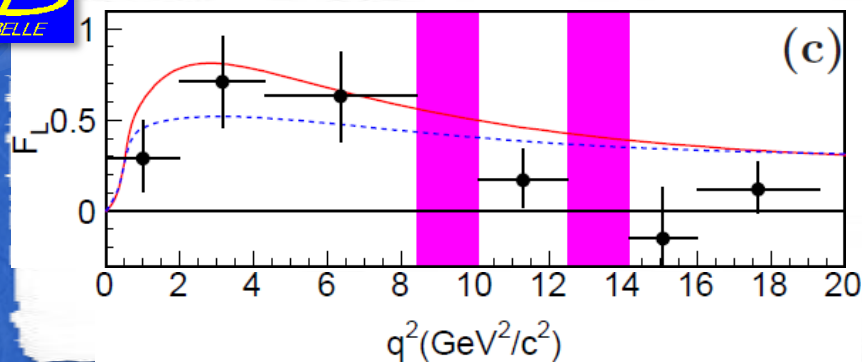


- 1st and 2nd bin are merged (prior unblinding A_{FB} and F_L)

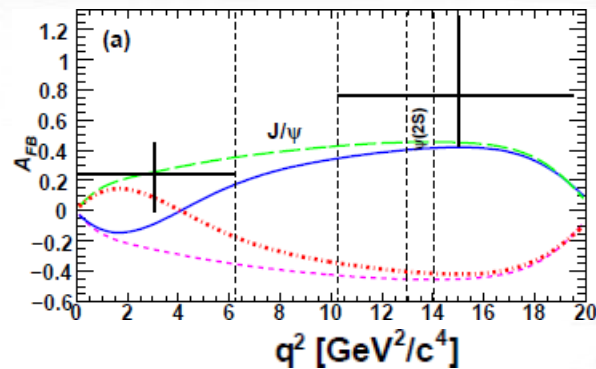
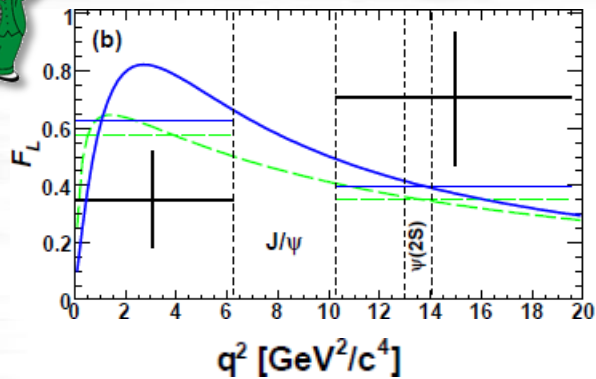
$A_{FB}(B \rightarrow K^{(*)} \mu \mu)$



657M BB, PRL103:171801 (2009)



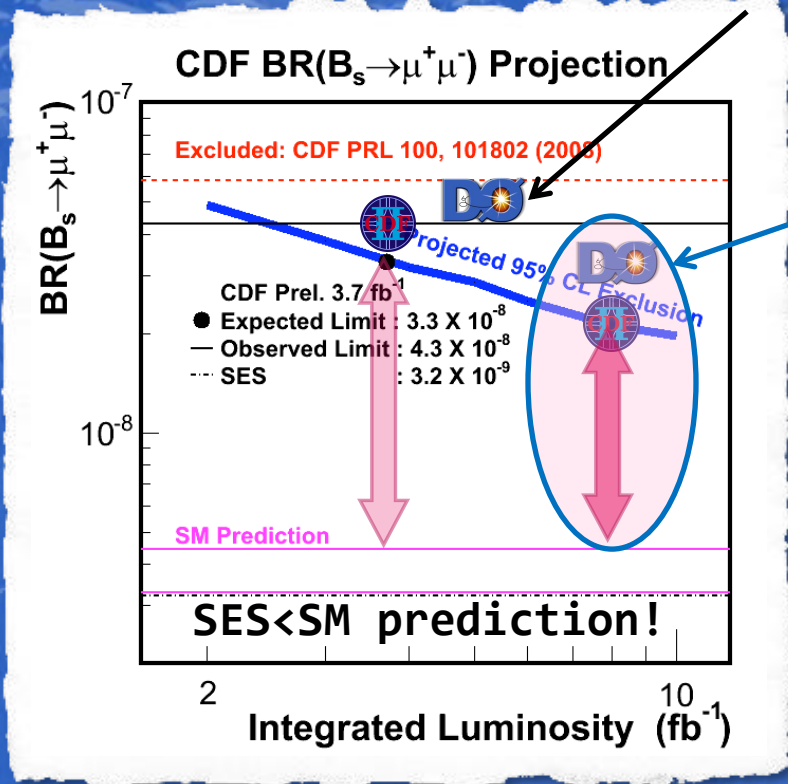
384M BB, PRD79,031102(R) (2009)



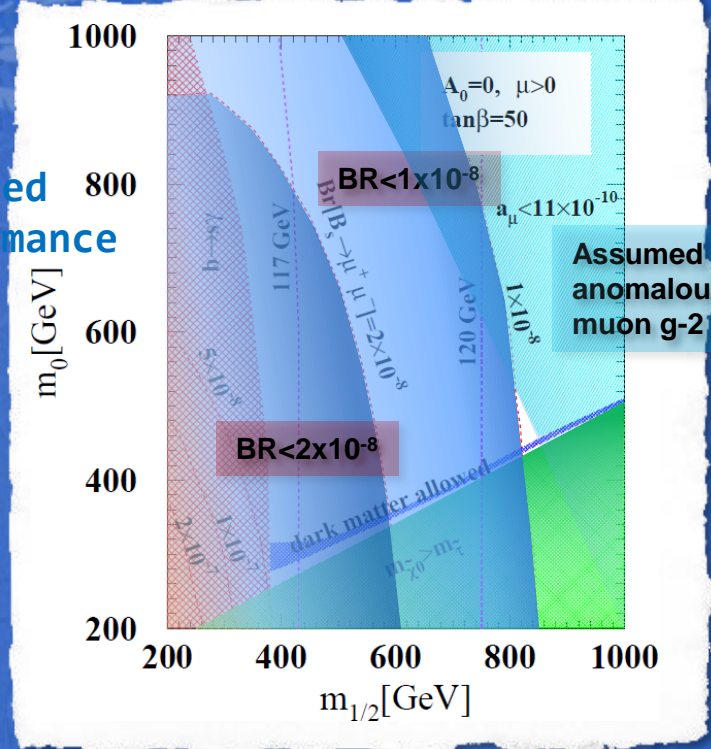
$B_s \rightarrow \mu \mu$: prospects

$D\emptyset$ expected@5fb⁻¹

mSUGRA, D. Toback,
arXiv:0911.0880v1 (2009)



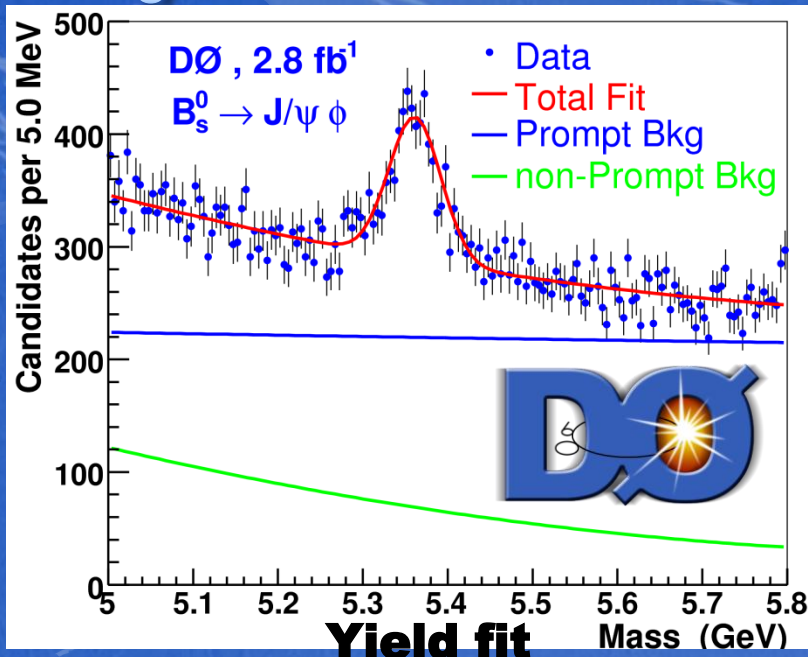
Expected performance @8fb⁻¹



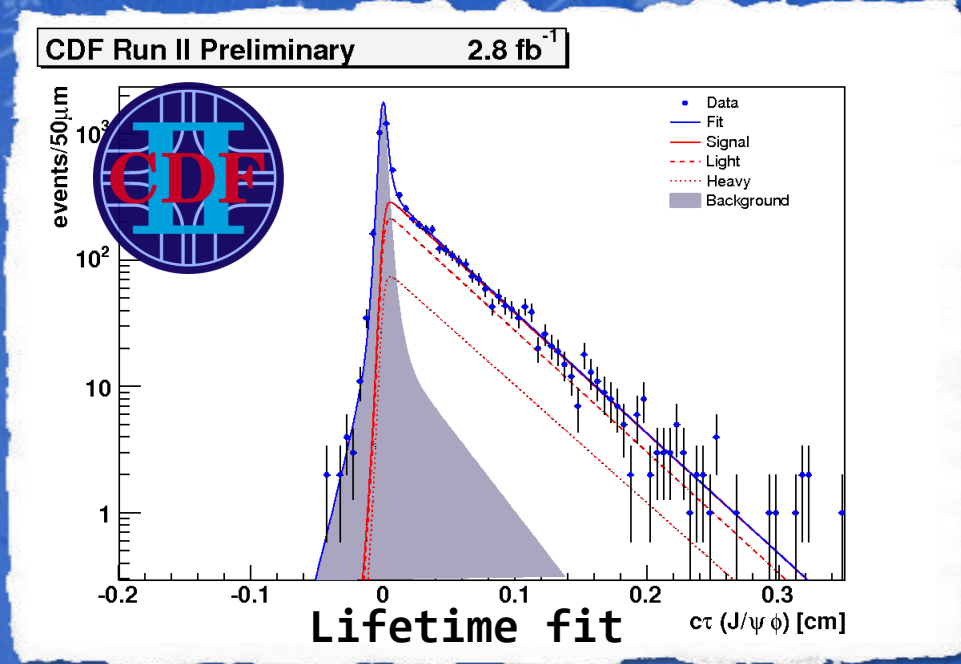
- 2010 (approved, ongoing : $\sim 8\text{fb}^{-1}$)
 - CDF Expected limit: 2×10^{-8} @8fb⁻¹ (**6xSM**)
 - Combined with $D\emptyset \rightarrow$ **5xSM**
- 2011 (proposal, likely 10fb⁻¹)
 - Combined limit $\sim 0(10^{-8})$

Strong constraint on NP parameters :
Could rule-out mSUGRA with Tevatron combination at 10fb⁻¹

$B_s \rightarrow J/\psi \phi @ 2.8 \text{fb}^{-1}$



$N(B_s^0)^{D\bar{O}} \sim 2000$
 $N(B_s^0)^{CDF} \sim 3200$



$\beta_s = 0$, no flavor tag :

$\tau(B_s^0) = 1.53 \pm 0.04 \text{ (stat)} \pm 0.01 \text{ (syst) ps}$

$\Delta\Gamma = 0.02 \pm 0.05 \text{ (stat)} \pm 0.01 \text{ (syst) ps}^{-1}$

PRL 102, 032001 (2009)

$\tau(B_s^0) = 1.487 \pm 0.060 \text{ (stat)} \pm 0.028 \text{ (syst) ps}$

$\Delta\Gamma = 0.085^{+0.072}_{-0.078} \text{ (stat)} \pm 0.006 \text{ (syst) ps}^{-1}$



$B_s \rightarrow J/\Psi \Phi$ Decay Rate

- $B_s \rightarrow J/\Psi \Phi$ decay rate as function of time, decay angles and initial B_s flavor:
time dependence terms

$$\frac{d^4 P(t, \vec{\rho})}{dt d\vec{\rho}} \propto |A_0|^2 T_+ f_1(\vec{\rho}) + |A_{||}|^2 T_+ f_2(\vec{\rho})$$

$$+ |A_{\perp}|^2 T_- f_3(\vec{\rho}) + |A_{||}| |A_{\perp}| \mathcal{U}_+ f_4(\vec{\rho})$$

$$+ |A_0| |A_{||}| \cos(\delta_{||}) T_+ f_5(\vec{\rho})$$

$$+ |A_0| |A_{\perp}| \mathcal{V}_+ f_6(\vec{\rho}),$$

angular dependence terms

terms with b_s dependence

$$T_{\pm} = e^{-\Gamma t} \times [\cosh(\Delta\Gamma t/2) \mp \cos(2\beta_s) \sinh(\Delta\Gamma t/2)$$

$$\mp \eta \sin(2\beta_s) \sin(\Delta m_s t)],$$

terms with Δm_s dependence present if initial state of B meson (B vs anti-B) is determined (flavor tagged)

$$\mathcal{U}_{\pm} = \pm e^{-\Gamma t} \times [\sin(\delta_{\perp} - \delta_{||}) \cos(\Delta m_s t)$$

$$- \cos(\delta_{\perp} - \delta_{||}) \cos(2\beta_s) \sin(\Delta m_s t)$$

$$\pm \cos(\delta_{\perp} - \delta_{||}) \sin(2\beta_s) \sinh(\Delta\Gamma t/2)]$$

'strong' phases:

$$\mathcal{V}_{\pm} = \pm e^{-\Gamma t} \times [\sin(\delta_{\perp}) \cos(\Delta m_s t)$$

$$- \cos(\delta_{\perp}) \cos(2\beta_s) \sin(\Delta m_s t)$$

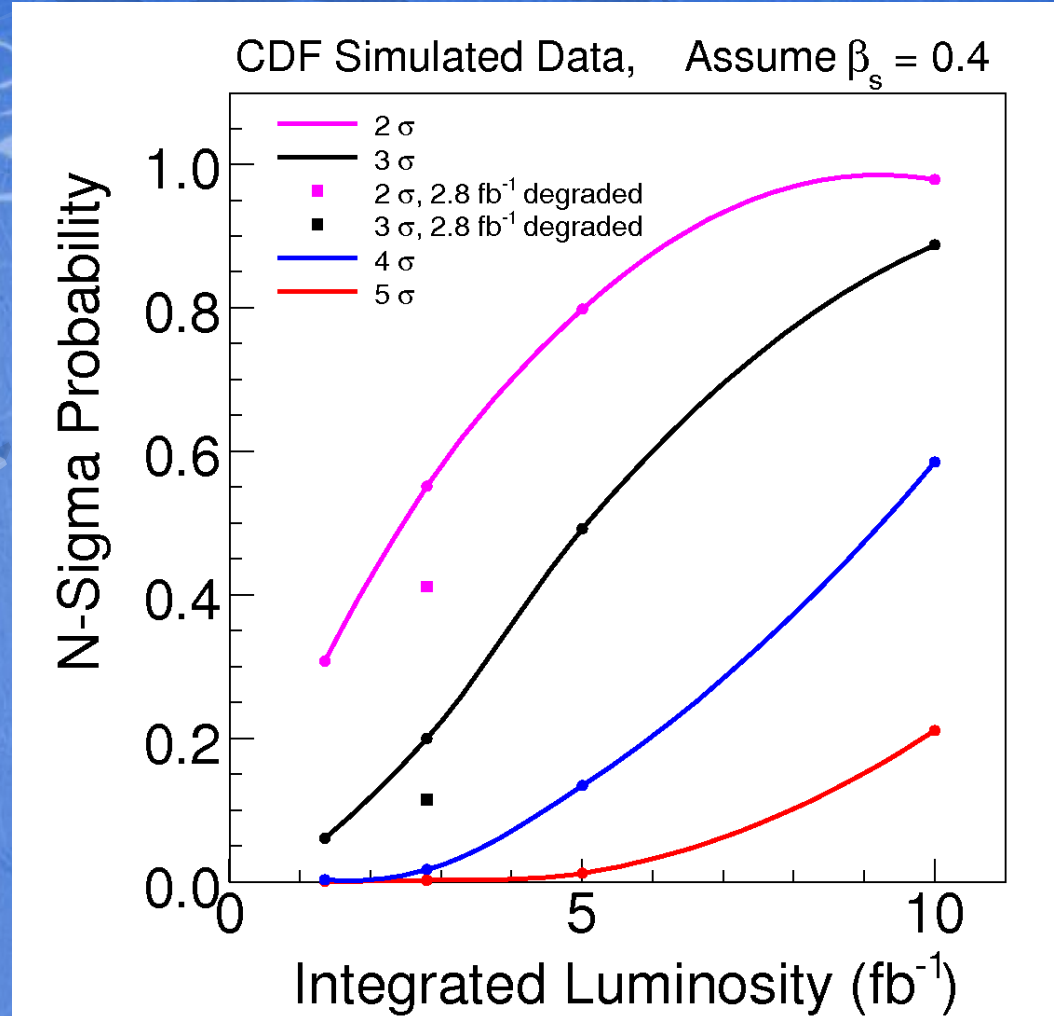
$$\pm \cos(\delta_{\perp}) \sin(2\beta_s) \sinh(\Delta\Gamma t/2)].$$

$$\delta_{||} \equiv \text{Arg}(A_{||}(0)A_0^*(0))$$

$$\delta_{\perp} \equiv \text{Arg}(A_{\perp}(0)A_0^*(0))$$

- Identification of B flavor at production (flavor tagging) → better sensitivity to b_s

Present CDF result
doesn't fully utilize data
⇒ No particle ID in
Neural Network selection
⇒ No SSKT after 1.3 fb^{-1}





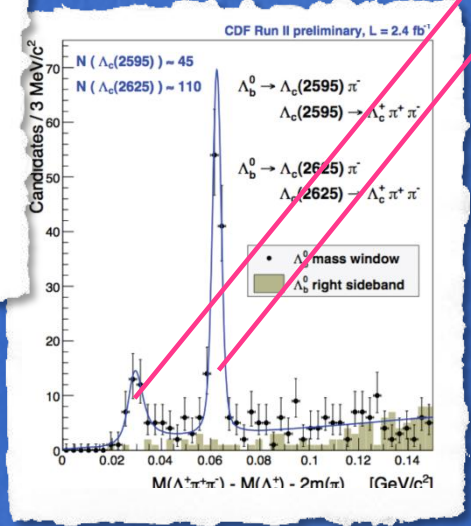
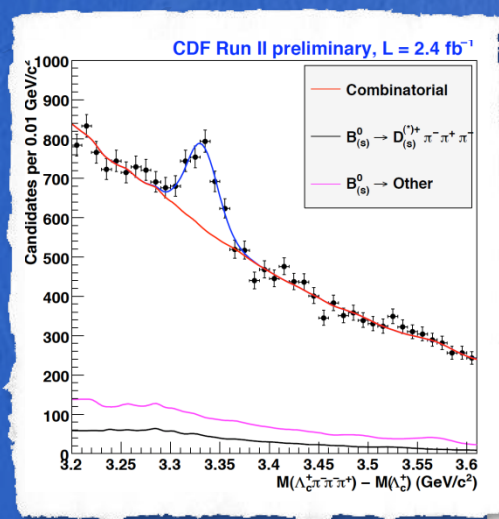
$\Delta_b \rightarrow \chi_c n \pi \rightarrow \Delta_c^+ \pi^- \pi^+ \pi^-$

Charm resonant decay channel

- CDF observed resonant semileptonic decay channel: $\Delta_b \rightarrow \chi_c (\pi) \mu \nu$

PRD 79, 032001 (2009)

First observation of $\Delta_b \rightarrow \Delta_c^+ \pi^- \pi^+ \pi^-$



Λ_b^0 Decay Mode	Yield
$\Lambda_b^0 \rightarrow \Lambda_c(2595)^+ \pi^- \rightarrow \Lambda_c^+ \pi^- \pi^+ \pi^-$	46.6 ± 9.7
$\Lambda_b^0 \rightarrow \Lambda_c(2625)^+ \pi^- \rightarrow \Lambda_c^+ \pi^- \pi^+ \pi^-$	114 ± 13
$\Lambda_b^0 \rightarrow \Sigma_c(2455)^{++} \pi^- \pi^- \rightarrow \Lambda_c^+ \pi^- \pi^+ \pi^-$	81 ± 15
$\Lambda_b^0 \rightarrow \Sigma_c(2455)^0 \pi^+ \pi^- \rightarrow \Lambda_c^+ \pi^- \pi^+ \pi^-$	41.5 ± 9.3
$\Lambda_b^0 \rightarrow \Lambda_c^+ \rho^0 \pi^- + \Lambda_c^+ 3\pi(\text{other}) \rightarrow \Lambda_c^+ \pi^- \pi^+ \pi^-$	610 ± 88

848 signals@2.4fb⁻¹

Relative BR

$$\frac{BR(\Lambda_b^0 \rightarrow \Lambda_c(2595)^+ \pi^- \rightarrow \Lambda_c^+ \pi^- \pi^+ \pi^-)}{BR(\Lambda_b^0 \rightarrow \Lambda_c^+ \pi^- \pi^+ \pi^- (\text{all}))} = (2.5 \pm 0.6(\text{stat}) \pm 0.5(\text{syst})) \cdot 10^{-2}$$

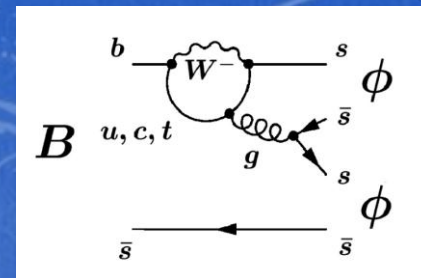
$$\frac{BR(\Lambda_b^0 \rightarrow \Lambda_c(2625)^+ \pi^- \rightarrow \Lambda_c^+ \pi^- \pi^+ \pi^-)}{BR(\Lambda_b^0 \rightarrow \Lambda_c^+ \pi^- \pi^+ \pi^- (\text{all}))} = (6.2 \pm 1.0(\text{stat}) \pm 1.2(\text{syst})) \cdot 10^{-2}$$

$$\frac{BR(\Lambda_b^0 \rightarrow \Sigma_c(2455)^{++} \pi^- \pi^- \rightarrow \Lambda_c^+ \pi^- \pi^+ \pi^-)}{BR(\Lambda_b^0 \rightarrow \Lambda_c^+ \pi^- \pi^+ \pi^- (\text{all}))} = (5.2 \pm 1.1(\text{stat}) \pm 0.9(\text{syst})) \cdot 10^{-2}$$

$$\frac{BR(\Lambda_b^0 \rightarrow \Sigma_c(2455)^0 \pi^+ \pi^- \rightarrow \Lambda_c^+ \pi^- \pi^+ \pi^-)}{BR(\Lambda_b^0 \rightarrow \Lambda_c^+ \pi^- \pi^+ \pi^- (\text{all}))} = (8.9 \pm 2.1(\text{stat}) + 1.5 - 1.0(\text{syst})) \cdot 10^{-2}$$



$B_s \rightarrow \phi \phi$: gluonic penguin



□ Dominated by $b \rightarrow sss$ (same as $B \rightarrow \phi K^{(*)}$)

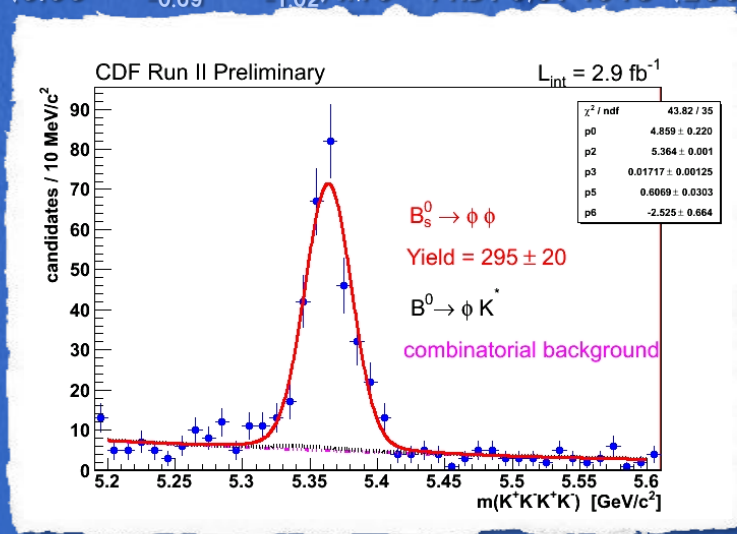
□ BR is sensitive to NP due to the loop diagram

□ Previous result: $(1.4^{+0.6}_{-0.5} \pm 0.6) \times 10^{-5}$ by 8 signal@180pb⁻¹

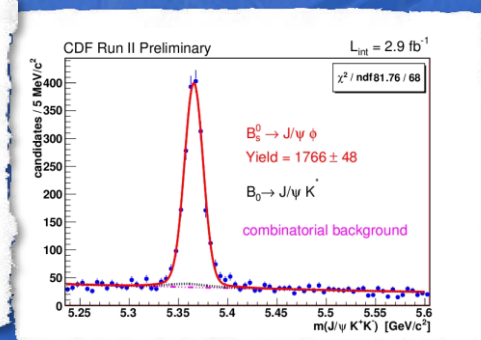
□ Various BR expectations

□ QCDF: $(2.18 \pm 0.1^{+3.04}_{-1.78}) \times 10^{-5}$ NPB774,64 (2007)

□ pQCD: $(3.53^{+0.83}_{-0.69} {}^{+1.67}_{-1.02}) \times 10^{-5}$ PRD76,074018 (2007)



Control channel: $J/\psi \phi$



$$BR(B_s^0 \rightarrow \phi \phi) = [2.40 \pm 0.21(stat) \pm 0.27(syst) \pm 0.82(BR)] \cdot 10^{-5}$$

□ Updated by 2.9fb⁻¹ from 180pb⁻¹~significant improvement

□ BR: Consistent with SM

Next step: Polarization measurement